

靜脈注入用 抗癌劑에 依한 實驗的 血管外 軟部組織損傷에 關한 病理學的研究*

Pathologic Study on Experimentally Induced Soft Tissue Injuries by Extravasated Anticancer Agents

서울大學校 醫科大學 病理學教室

張 子 俊** · 咸 毅 根

緒 論

細胞毒性이 強한 抗癌劑의 靜脈注射時豫期치 않은 血管外 流出은 皮膚 및 皮下 軟組織 例外는 深部 筋肉組織의 壊死까지도 誘發시키며 이와한 組織損傷은 靜脈注入用 抗癌劑 投與時 重要한 合併症의 하나이며 (Wang等, 1971; Rudolph等, 1976; Ignoffo 및 Friedman, 1980), 더우기 血管外 流出로 因한 損傷은 다른 外傷性 組織損傷에 比해 治療가 어려울 뿐 아니라 그 組織損傷의 修復期間도 훨씬 長어서 治療의 問題點이 되고 있다. 血管外 流出로 因해 組織損傷을 招來하는 代表적인 抗癌劑는 Adriamycin(doxorubicin hydrochloride)인데, 그 組織潰瘍의 樣相은 放射線에 依한 潰瘍과 비슷하며 難治性으로 알려져 있다(Tan等, 1973; Bowers 및 Lynch, 1978; Rudolph, 1978).

抗瘤化學療法時 全身性 合併症에 對해서는 많은 研究가 되어 있으나 局所性 組織損傷은 問題點이 많은데도 不拘하고 看過되며 積極적 治療가 어려워 治療의 問題點이 어려워지며 對해서는 잘 알려져 있지 않은 實情이다(Barr等, 1981).

여기에 著者は 몇 가지 抗癌劑의 血管外 流出에 依한 特徵의인 病理組織學의 所見을 經時의으로 觀察하고 投與方法 및 抗癌劑相互間에 있어서의 組織損傷 樣相의 差異를 比較 檢討하며 steroid 同時投與에 依한 損傷 預防效果를 檢討해 봄으로써 抗癌劑의 流出時 發生할 수 있는 軟部組織 損傷의 機轉을 究明해 보고자 本實驗을 試圖하였다.

實驗材料 및 方法

1. 實驗動物 및 實驗群

實驗動物로는 健康한 體重 150gm 内外의 Sprague-Dawley系 雄性 白鼠 90마리를 使用하였고 市販 混合飼料로서 10日間 飼育하여 環境에 適應시킨 後 實驗에着手하였다. 實驗群은 靜脈注入用 抗癌劑 中 3種을 選擇하여 각 30마리씩 3個群으로 나누어 投與하였고 각群은 다시 投與方法에 따라 皮下 및 皮內 投與群으로 나누었다.

2. 藥劑 및 投與方法

本 實驗에 使用된 靜脈注入用 抗癌劑는 10mg vial doxorubicin hydrochloride (Farmitalia Carlo Erba, Italy: 以下 Adriamycin으로 表記), 500mg ample fluorouracil(中外製藥: 以下 5-FU로 表記), 10mg vial cis-dichlorodiammineplatinum(II) (Abic, Israel: 以下 Cisplatin으로 表記)이며, steroid 製劑로는 5mg ample Dexamethasone(永進藥品)을 使用하였다. 注射液의 調製는 Adriamycin과 Cisplatin은 각각 30mg, 50mg을 10ml 生理食鹽水에 溶解하였고, 5-FU는 500mg ample原液을 使用하였으며 Dexamethasone은 12.5mg을 生理食鹽水와 섞어 10ml로 制作하였다. 藥劑의 用量은 Adriamycin: 2mg/kg, 5-FU: 33.3mg/kg, Cisplatin: 3.5 mg/kg을 하였으며 合併投與 藥劑인 Dexamethasone: 0.083mg/kg을 投與하였다.

注射液의 投與는 白鼠 背部를 剃毛하고 암풀로 消毒處置한 後 左上部에 生理食鹽水(正常對照), 左下部에 治療用量의 藥劑(藥劑單獨投與)를, 右中間에 藥劑와 Dexamethasone(藥劑 및 steroid 同時投與)를 20G 注射器로 體重 150gm當 0.1ml씩 皮下 및 皮內로 投與하였다.

* 접수일자: 1983. 3. 6.

* 本 研究論文은 1983年度 서울大學 病院臨床研究費(咸毅根)의 一部로 이루어진 것임.

** 原子力病院 病理科長(現職)

3. 病理組織學的 檢索方法

各 實驗群에서 注射後 經時의으로 2, 6, 24時間 및 3, 7日에 肉眼所見을 觀察한 後 屍殺하여 肉眼變化가 뚜렷한 部位의 皮膚 및 皮下 軟組織을 떼어내 10% 中性 포고말린 溶液에 固定하고 파라핀에 包埋處理하여 5~7 μ 切片을 作成한 後 hematoxylin-eosin, acid orcein-Giemsa, Masson's trichrome 및 van Gieson 染色을 實施하여 光學顯微鏡의으로 檢索하였다.

組織損傷 程度의 判定은 炎症病變의 경우에는 反應이 전히 欲을 때(—), 少數의 細胞가 視野의 끝에 出現하여 輕微한 反應을 보일 때를 (+), 細胞浸潤이 성글지만 濫漫性인 때를 (++)+, 炎症細胞가 比較的 稠密하게 濫漫性浸潤을 보이면 (++), 아주 稠密한 濫漫性浸潤은 (卅)로 表記하였고, 壞死性病變은 그範圍에 따라 反應이 全히 없으면 (—), 微弱한 局所性 壞死는 (+), 視野의 一部를 點하는 限局性 壞死는 (++)+, 한 部位 以上的 局所性 壹死는 (++), 濫漫性의 壹死는 (卅)로 表記하였다. 損傷의 程度는 名群總白鼠 變化的 平均值를 擇取하고 그 平均值는 四捨五入의 原則으로 表記하였다.

實驗成績

A. 肉眼的 所見

全 實驗群에서 藥剤投與 後 6時間까지의 輕度의 浮腫은 24時間에 이르러 消失되었으며 肉眼的인 潰瘍所見은 7日에 이르기까지 觀察되지 않았다. 正常對照로 生理食鹽水를 注射한 部位와 5-FU를 皮下 및 皮內로 投與한 群에서는 肉眼變化가 뚜렷치 않았고 Adriamycin, Cisplatin을 皮下 및 皮內로 投與한 群에서는 24時間頃부터 充血을 보이고 3日에는 注射部位와 周圍正常組織과의 境界가 分明해지고 注射部位에 전은 色調의 變化가 나타났으며 이리한 肉眼所見은 7日에 이

르러 더 뚜렷해졌다. 또한 皮內投與群이 皮下投與群보다 더 顯著한 肉眼 變化를 보였다. 藥剤 單獨投與部位와 steroid 同時投與 部位 間에 肉眼所見上 特記할 差異는 볼 수 없었다(Table 1).

B. 病理組織學的 所見

1. Adriamycin 投與群

1) 皮下投與群：正常對照豆 生理食鹽水를 投與한 部位에서는 皮下組織內 浮腫 및 局所性 炎症細胞 浸潤이 24時間 以內에 觀察되는 것 以外에 뚜렷한 組織變化는 보이지 않았다. 藥剤 單獨投與 部位와 steroid 同時投與 部位에서는 注射後 6時間까지 皮下組織의 浮腫, 真皮 및 皮下組織內 小血管 周圍의 限局性의 炎症細胞 浸潤이 보였고 24時間에 炎症性 病變以外에 表皮의 凝固性壞死가 局所的으로 觀察되었다. 3日에는 炎症反應이 더욱 強해져면서 筋層의 壞死가 中等度로 나타나기 始作하여 7日에 이르러서는 表皮에서부터 筋層에 이르는 廣範圍한 壞死性 病變이 보였다.

2) 皮內投與群：注射後 6時間까지는 皮下投與群과 비슷한 樣相의 皮下組織內 浮腫 및 炎症, 真皮의 炎症變化를 主로 보이나, 24時間이 되면 表皮 및 筋層의 壞死가 輕度乃至 中等度로 觀察되고 注射後 3日에는 表皮에서 筋肉層까지 甚한 凝固性壞死의 所見이 보여서 7日까지 持續되었다. 壞死의 程度에 比해 同伴되는 炎症反應은 輕度乃至 中等度에 不過하였다.

皮下, 皮內 投與群에서 모두 血管炎의 所見, 纖維芽細胞의 增殖 또는 新生 肉芽組織의 形成은 全히 觀察되지 않았다(Table 2-1, 2-2).

2. 5-FU 投與群

1) 皮下投與群：5-FU의 皮下投與群에서는 注射後 初期에 皮下組織의 浮腫과 真皮 및 筋層下筋膜에 局所의 炎症細胞 浸潤이 보일 뿐이었으나 7日까지 壞死性 病變은 觀察되지 않았다.

2) 皮內投與群：注射後 6時間 前까지는 皮下組織의

Table 1. Gross findings of soft tissue injuries by Adriamycin, 5-FU, and Cisplatin at the injection site of drugs

Experimental groups	Subcutaneous group							Intradermal group								
	Adriamycin		5-FU		Cisplatin			Adriamycin		5-FU		Cisplatin				
	<1	1	3	7	<1	1	3	7	<1	1	3	7	<1	1	3	7
Gross findings* (day)																
Hyperemia	—	+	—	—	—	—	—	—	+	—	—	—	—	—	—	—
Demarcation	—	—	+	+	—	—	—	—	+	+	—	—	+	+	+	+
Discoloration	—	—	—	+	—	—	—	—	+	+	—	—	+	+	+	+
Ulceration	—	—	—	—	—	—	—	—	—	—	—	—	—	—	—	—

* Degree of changes: —, negative; +, mild; ++, moderate; +++, severe.

Table 2-1. Histopathologic findings of soft tissue injuries by Adriamycin

Experimental groups Experimental duration (day)	Subcutaneous group									Intradermal group																				
	2/24			6/24			1			3			7			2/24			6/24			1			3			7		
	A	B	C	A	B	C	A	B	C	A	B	C	A	B	C	A	B	C	A	B	C	A	B	C	A	B	C	A	B	C
Epidermis	—	—	—	—	—	—	—	+	—	—	—	—	#	—	—	—	—	—	—	—	—	#	—	—	#	—	—	#	—	
Coagulation necrosis	—	—	—	—	—	—	—	—	—	—	—	—	#	—	—	—	—	—	—	—	—	#	—	—	#	—	—	#	—	
Inflammation	—	—	—	—	—	—	—	+	—	—	—	—	+	—	—	—	—	—	—	—	—	+	—	—	#	—	—	#	—	
Dermis	—	—	—	—	—	—	—	—	—	—	—	—	—	—	—	—	—	—	—	—	—	—	—	—	—	—	—	—	—	
Collagen necrosis	—	—	—	—	—	—	—	—	—	—	—	—	#	+	—	—	—	—	—	—	—	—	—	—	#	—	#	—		
Inflammation	—	+	+	—	+	±	—	+	#	—	#	#	+	—	—	±	—	—	±	—	—	#	+	—	+	+	—	+	+	
Fibroblastic proliferation	—	—	—	—	—	—	—	—	—	—	—	—	—	—	—	—	—	—	—	—	—	—	—	—	—	—	—	—	—	
Granulation tissue	—	—	—	—	—	—	—	—	—	—	—	—	—	—	—	—	—	—	—	—	—	—	—	—	—	—	—	—	—	
Subcutis	—	—	—	—	—	—	—	—	—	—	—	—	—	—	—	—	—	—	—	—	—	—	—	—	—	—	—	—	—	
Edema	±	#	+	#	+	#	—	—	—	—	—	—	—	—	—	—	—	—	—	—	—	+	—	—	—	—	—	—	—	
Inflammation	—	±	±	+	+	+	—	±	+	—	—	—	#	+	—	—	±	—	—	—	—	+	+	—	#	+	—	+	—	
Vasculitis	—	—	—	—	—	—	—	—	—	—	—	—	—	—	—	—	—	—	—	—	—	—	—	—	—	—	—	—	—	
Muscle & fascia	—	—	—	—	—	—	—	—	—	—	—	—	—	—	—	—	—	—	—	—	—	—	—	—	—	—	—	—	—	
Necrosis	—	—	—	—	—	—	—	—	—	—	—	—	#	#	—	—	—	—	—	—	—	+	—	—	#	—	#	—		
Inflammation	—	—	—	—	—	—	—	—	—	—	—	—	—	—	—	—	—	—	—	—	—	—	—	—	—	—	—	—	—	

* Injection site: A, normal saline; B, Adriamycin; C, Adriamycin+Dexamethasone.

** Degree of changes: —, negative; —, mild; ±, moderate; #, severe.

Table 2-2. Soft tissue injuries induced by injection of Adriamycin

Time	Findings	
	Subcutaneous Group	Intradermal Group
Pre-necrotic phase		
~6hrs	Edema of subcutis and focal perivascular neutrophilic infiltration	Same as subcutaneous group
Necrotic phase		
6~24hrs	Focal coagulative necrosis of epidermis with marginal neutrophilic collection	Patchy coagulative necrosis of epidermis and muscle
1~3ds	Moderate to marked inflammatory cell infiltration in subcutis and dermis	Extensive coagulative necrosis in epidermis through muscle layer
3~7ds	Irregular coagulative necrosis of epidermis, dermis and muscle	Persistent necrotic lesion, but no fibroblastic proliferation and granulation tissue formation

浮腫과 炎症反應이 主要 所見이나 24時間 뒤 3일頃에는 輕度의 表皮 壞死가 觀察되었고, 이러한 壞死性 病變은 7일에 이르러 모두 消失되었다(Table 3).

3. Cisplatin投與群

1) 皮下投與群: Adriamycin 投與群과 비슷한 様相의 組織損傷을 보여 6시간까지는 皮下組織과 貞皮에 輕度의 浮腫과 炎症 所見만이 보이나 注射後 24시간에 이르면 Adriamycin 投與群보다 좀더 일찍 筋層의 壞死가 觀察되고 3일에는 表皮, 貞皮, 筋肉層에 이르는 中等度의 壞死性 病變이 나타나서 7일에 이르기까지 持續되는 所見을 보였다.

2) 皮內投與群: Adriamycin 投與群과는 달리서 2, 6時間頃에 이미 表皮에 炎症反應을 同伴하지 않는 水性變性(hydropic degeneration)이 觀察되었으며 注射後 24시간에는 貞皮의 壞死가 3일에는 表皮에서 筋層에 이르는 顯著한 壞死性 炎症 病變이 나타나 7일까지 持續하는 壞死性 損傷을 보았다(Table 4-1, 4-2).

4. 藥剤單獨投與部位에서 세 藥剤의 血管外軟部組織損傷의 比較

病理組織學의 變化가 뚜렷했던 1, 3, 7일에서의 세 藥剤間 組織損傷의 程度는 一般的으로 Adriamycin 및 Cisplatin이 5-FU 보다 훨씬 極端 様相을 보았고 Cisplatin은 皮下投與群에서 Adriamycin 보다 좀더 初期에 表皮 및 貞皮의 壞死를 보였으나 7일頃에는 거의一致하는 所見이 있으며 皮下組織의 炎症反應이나 筋肉層의 壞死 病變은 큰 差異를 보이지 않았다. 皮內投與群에서도 Cisplatin 投與群에서 初期에 表皮의 水性變性을 보인 것以外에는 組織損傷 程度가 Adriamycin 投與群과 큰 差異를 認定하기 어려웠다(Table 5).

5. 藥剤單獨投與部位와 Steroid同時投與部位의 血管外軟部組織損傷程度의 比較

가장 顯著한 病理組織學의 變化를 보였던 3, 7일에 藥剤單獨投與部位와 steroid 同時投與部位間의 組織損傷의 程度를 比較検討해 보면 Adriamycin, Cisplatin 皮下 및 皮內投與群의 steroid 同時投與部位에서도 藥剤單獨投與部位와 마찬가지로 表皮, 貞皮, 筋層에 걸쳐 모두 輕度에서 強度에 이르는 壞死 및 皮下組織炎症反應이 觀察되고 있음을 볼 수 있다. 그러나 壞死의 程度와 壞死周圍의 炎症反應은 steroid 同時投與部位에서 藥剤單獨部位보다多少輕減되는 傾向을 볼 수 있다(Table 6).

總括 및 考按

靜脈注入用 抗癌剤의 血管外軟部組織損傷에 關한 病理組織學의 特性을 実明하고 投與方法 및 藥剤 相互間에 있어서의 組織損傷 様相의 差異와 steroid 投與에 依한 損傷 預防效果를 檢討하고자 Sprague-Dawley系 雄性 白鼠를 對象으로 光學顯微鏡의 檢索을 通하여 얻은 結果를 總括하면 다음과 같다.

軟部組織損傷의 肉眼의 變化가 뚜렷했던 抗癌剤는 Adriamycin과 Cisplatin으로서 注射後 24時間에 先血栓, 3일에 分明한 注射部位의 境界와 色調의 變化를 보이 7일에는 더욱 顯著하였다. 抗癌剤의 血管外流出性 病變에 關해서 臨床的으로나 實驗的으로 잘 알려져 있는 藥剤로는 Adriamycin이 있는데(Rudolph等, 1976; Wang等, 1971; Rudolph, 1978; Tan等, 1973; Reilly等, 1977; Rudolph等, 1979; Henry, 1976; Gabbay

Table 3. Histopathologic findings of soft tissue injuries by 5-FU

Experimental groups			Subcutaneous group						Intradermal group																							
			2/24			6/24			1			3			7			2/24			6/24			1			3			7		
			A	B	C	A	B	C	A	B	C	A	B	C	A	B	C	A	B	C	A	B	C	A	B	C	A	B	C			
Experimental duration (day)	2/24																															
Injection site*																																
Histopathologic findings**																																
Epidermis	—	—	—	—	—	—	—	—	—	—	—	—	—	—	—	—	—	—	—	—	—	—	—	—	—	—	—	—	—			
Coagulation necrosis	—	—	—	—	—	—	—	—	—	—	—	—	—	—	—	—	—	—	—	—	—	+	—	—	—	—	—	—	—			
Inflammation	—	—	—	—	—	—	—	—	—	—	—	—	—	—	—	—	—	—	—	—	—	+	+	—	—	—	—	—	—			
Dermis	—	—	—	—	—	—	—	—	—	—	—	—	—	—	—	—	—	—	—	—	—	—	—	—	—	—	—	—	—			
Collagen necrosis	—	—	—	—	—	—	—	—	—	—	—	—	—	—	—	—	—	—	—	—	—	—	—	—	—	—	—	—	—			
Inflammation	—	±	—	—	—	—	—	—	—	—	—	—	—	—	—	—	—	—	—	—	—	+	—	—	—	—	—	—	—			
Fibroblastic proliferation	—	—	—	—	—	—	—	—	—	—	—	—	—	—	—	—	—	—	—	—	—	—	—	—	—	—	—	—	—			
Granulation tissue	—	—	—	—	—	—	—	—	—	—	—	—	—	—	—	—	—	—	—	—	—	—	—	—	—	—	—	—	—			
Subcutis	—	—	—	—	—	—	—	—	—	—	—	—	—	—	—	—	—	—	—	—	—	—	—	—	—	—	—	—	—			
Edema	+	+	+	—	—	—	—	—	—	—	—	—	—	—	—	—	—	—	+	+	+	—	+	—	—	—	—	—	—			
Inflammation	—	+	±	—	—	—	—	—	—	—	—	—	—	—	—	—	—	—	±	±	—	+	—	—	—	—	—	—	—			
Vasculitis	—	—	—	—	—	—	—	—	—	—	—	—	—	—	—	—	—	—	—	—	—	—	—	—	—	—	—	—	—			
Muscle & fascia	—	—	—	—	—	—	—	—	—	—	—	—	—	—	—	—	—	—	—	—	—	—	—	—	—	—	—	—	—			
Necrosis	—	—	—	—	—	—	—	—	—	—	—	—	—	—	—	—	—	—	—	—	—	—	—	—	—	—	—	—	—			
Inflammation	—	±	±	—	—	—	—	—	—	—	—	—	—	—	—	—	—	—	—	—	—	—	—	—	—	—	—	—	—			

* Injection site: A, normal saline; B, 5-FU; C, 5-FU+Dexamethasone.

** Degree of changes: —, negative; ±, weak; +, mild; ++, moderate; ++++, severe.

Table 4-1. Histopathologic findings of soft tissue injuries by Cisplatin

Experimental groups Experimental duration (day)	Subcutaneous group									Intradermal group																				
	2/24			6/24			1			3			7			2/24			6/24			1			3			7		
	A	B	C	A	B	C	A	B	C	A	B	C	A	B	C	A	B	C	A	B	C	A	B	C	A	B	C	A	B	C
Injection site*	—	—	—	—	—	—	—	—	—	—	—	—	—	—	—	—	—	—	—	—	—	—	—	—	—	—	—	—	—	
Histopathologic findings**	—	—	—	—	—	—	—	—	—	—	—	—	—	—	—	—	—	—	—	—	—	—	—	—	—	—	—	—	—	
Epidermis	—	—	—	—	—	—	—	—	—	—	—	—	—	—	—	—	—	—	—	—	—	—	—	—	—	—	—	—	—	
Coagulation necrosis	—	—	—	—	—	—	—	+	+	—	+	—	—	+	+	—	+	+	—	+	+	—	+	+	—	+	+	—	+	+
Inflammation	—	—	—	—	—	—	+	+	+	—	+	—	—	+	+	—	—	—	—	—	+	+	—	+	+	—	+	+	—	+
Dermis	—	—	—	—	—	—	—	—	—	—	—	—	—	—	—	—	—	—	—	—	—	—	—	—	—	—	—	—	—	
Collagen necrosis	—	—	—	—	—	—	—	—	—	—	—	—	—	—	—	—	—	—	—	—	—	—	—	—	—	—	—	—	—	
Inflammation	—	—	±	—	—	+	+	—	+	+	—	+	+	—	+	+	—	+	+	—	+	+	—	+	+	—	+	+	—	
Fibroblastic proliferation	—	—	—	—	—	—	—	—	—	—	—	—	—	—	—	—	—	—	—	—	—	—	—	—	—	—	—	—	—	
Granulation tissue	—	—	—	—	—	—	—	—	—	—	—	—	—	—	—	—	—	—	—	—	—	—	—	—	—	—	—	—	—	
Subcutis	—	—	—	—	—	—	—	—	—	—	—	—	—	—	—	—	—	—	—	—	—	—	—	—	—	—	—	—	—	
Edema	+	+	+	±	+	+	—	±	+	—	±	+	—	—	—	—	—	+	+	—	+	+	—	±	+	—	—	—	—	
Inflammation	—	+	+	—	+	+	—	+	+	—	+	+	—	+	+	—	+	+	—	+	+	—	+	+	—	+	+	—	+	+
Vasculitis	—	—	—	—	—	—	—	—	—	—	—	—	—	—	—	—	—	—	—	—	—	—	—	—	—	—	—	—	—	
Muscle & fascia	—	—	—	—	—	—	—	—	—	—	—	—	—	—	—	—	—	—	—	—	—	—	—	—	—	—	—	—	—	
Necrosis	—	—	—	—	—	—	—	—	—	—	—	—	—	—	—	—	—	—	—	—	—	—	—	—	—	—	—	—	—	
Inflammation	—	+	+	—	+	+	—	+	+	—	+	+	—	+	+	—	+	+	—	+	+	—	+	+	—	+	+	—	+	+

* Injection site: A, normal saline; B, Cisplatin; C, Cisplatin+Dexamethasone.

** Degree of changes: —, negative; ±, weak; +, mild; ++, moderate; +++, severe.

Table 4-2. Soft tissue injuries induced by injection of Cisplatin

Time	Findings													
	Subcutaneous Group							Intradermal Group						
Pre-necrotic phase														
~6hrs	Edema of subcutis and focal inflammatory cell collection							Focal degenerative change in epidermis without inflammation						
Necrotic phase														
6~24hrs	Focal coagulative necrosis of epidermis and muscle fiber							Patchy coagulative necrosis in epidermis, dermis and muscle fiber						
1~3ds	Patchy necrotic lesion in epidermis, dermis and muscle							Extensive coagulative necrosis in epidermis through muscle						
3~7ds	Extensive necrotic lesion							Persistent necrotic lesion, but no fibroblastic proliferation or granulation tissue formation						

Table 5. Comparison of histopathologic findings of soft tissue injuries by Adriamycin, 5-FU and Cisplatin at the injection site of drugs

Experimental groups Anti-cancer agents Experimental duration (day)	Subcutaneous group												Intradermal group		
	Adriamycin			5-FU			Cisplatin			Adriamycin			5-FU		
	1	3	7	1	3	7	1	3	7	1	3	7	1	3	7
Epidermis															
Coagulation necrosis	+	-	#	-	-	-	+	#	#	#	#	#	+	-	-
Dermis															
Collagen necrosis	-	-	#	-	-	-	-	+	#	-	#	#	-	-	-
Subcutis															
Inflammation	+	#	#	-	-	-	+	#	#	+	#	#	+	-	-
Muscle & fascia															
Necrosis	--	#	#	--	--	-	+	#	#	+	#	#	--	--	+

* Degree of changes: -, negative; +, mild; #, moderate; ##, severe.

Table 6. Comparison of histopathologic findings of soft tissue injuries by Adriamycin, 5-FU and Cisplatin at the injection site of drugs with and without Dexamethasone

Experimental groups Anti-cancer agents Experimental duration (day) Injection site*	Subcutaneous group												Intradermal group		
	Adriamycin		5-FU		Cisplatin		Adriamycin		5-FU		Cisplatin				
	3	7	3	7	3	7	3	7	3	7	3	7	B	C	B
Epidermis															
Coagulation necrosis	--	#	#	--	--	-	#	-	#	#	#	#	-	+	-
Dermis															
Collagen necrosis	--	#	+	--	-	-	+	--	#	#	#	#	-	+	-
Subcutis															
Inflammation	#	#	#	+	--	-	#	+	#	#	#	#	-	-	-
Muscle & fascia															
Necrosis	#	#	#	#	--	--	#	+	#	#	#	#	--	--	+

* Injection site: B, Anti-cancer agents; C, Anti-cancer agents+Dexamethasone.

** Degree of changes: -, negative; +, mild; #, moderate; ##, severe.

等, 1976), 그 肉眼所見은 放射線 照射後 發生할 수 있는 潰瘍과 비슷한 樣相의 難治性인 皮膚 潰瘍을 보인다고 하였는데 本實驗에서는 肉眼的 潰瘍所見은 뚜렷치 않았다. Reilly等(1977)에 依하면 Adriamycin에 依한 軟部組織 損傷은 治癒가 늦으며 深部 筋層이나 骨骼의 壞死를 招來할 수도 있기 때문에 病變의 初期에 廣範圍한 手術的 處置를 要한다고 하였다. 또한 放射線에 依한 潰瘍과는 달리 顯微鏡的으로 血管炎이나 血管의 擴張, 表皮의 萎縮을 보이지 않는 特徵을 가진다고 하였다(Teloh等, 1950; Rudolph等, 1976).

Rudolph等(1979)은 白鼠 皮膚를 利用하여 Adriamycin에 依한 血管外 流出性 組織損傷을 實驗의 으로 觀察하였던 바 皮下投與群에서는 不規則한 組織損傷 樣相을 보였고 皮內投與群에서는 比較的一定한 規則的 變化를 보인다고 하였다. 病變의 크기는 藥用量에 比例하였고, 組織損傷을 誘發시킬 수 있는 最少의 用量은 0.01mg/ml었으며 注射後 3日頃의 病變은 炎症을 同伴하지 않는 壞死性 病變이 있다고 한다. Barr等(1981)도 기니아피을 使用하여 抗癌劑의 血管外 流出性 病變을 觀察해 본 結果 Rudolph等과 비슷하게 皮內投與群이 皮下投與群보다 더 規則的이며 甚한 組織損傷을 보인다고 하였다. 投與方法에 따라 相異한 組織損傷의 樣相을 보이는 것은 白鼠 皮膚의 組織學的 特性으로 皮下筋層(panniculus carnosus)이라는 薄은 筋肉層이 있어서 皮內投與時 藥劑가 더 오랫동안 注射部位에 머물 수 있기 때문으로 생각되어 진다. 따라서 實驗의 流出性 病變 및 그 治療對策을 위한 實驗 모델로는 皮內投與 實驗群을 擇해야 함이 主張되고 있다(Barr等, 1981).

本 實驗에서 病理組織學的 所見上 正常對照로 生理食鹽水를 投與한 部位와 5-FU 皮下投與群에서는 輕度乃至 中等度의 皮下浮腫과 微弱한 炎症反應만이 보였으나, 5-FU 皮內投與群과 Adriamycin 및 Cisplatin 皮下, 皮內投與群에서는 壞死性 炎症 病變이 觀察되었다. 藥劑 相互間에서는 Adriamycin과 Cisplatin은 비슷한 樣相의 甚한 凝固性 壞死病變을 보였으나, 5-FU는 그 損傷 程度가 微弱하였다. 또한 投與方法에 따라서는 皮下投與群은 3日 以前까지 主로 賢皮, 皮下組織 및 筋層에 局限되는 組織損傷의 樣相을 보이는 反面에 皮內投與群은 甚한 表皮壞死와 賢皮의 膠原纖維壞死와 함께 筋層의 壞死에 이르기까지 더 顯著한 病變을 보였다. 壞死性 病變이 뚜렷하였던 Adriamycin 및 Cisplatin 投與群에서 經時的인 病理組織學的 所見을 보면, 藥劑 投與後 2時間에 賢皮 및 皮下組織內 小血管周圍로 炎症細胞의 游潤이 보이고, 24時間에 炎症

性 病變以外에 간혹 表皮 및 筋纖維의 壞死가 觀察되며 3日에는 表皮에서 부터 筋層에 이르는 甚한 凝固性 壞死病變이 나타나서 7日까지 持續되었다. 그러나 全 實驗群에서 뚜렷한 血管의 炎症所見이나 纖維芽細胞의 增殖 및 新生 肉芽組織 形成은 實驗 一週日에 이르기까지 全て 觀察되지 않았다.

抗癌劑의 種類에 따른 組織損傷의 樣相이 달리 나나는 것은 그 根本原因是 分明치 않으나 各 藥劑相互間 細胞 毒性의 差異때문이라고 理解되어 진다(Ignoffo 및 Friedman, 1980). Adriamycin은 vesicant의 一種으로서 雙鏈 DNA의 雙鹽基사이에 插入되거나 DNA의 隣糖과 藥劑의 glycane群 사이에 排水性結合過程을 通해 DNA機能을 變化시키고 細胞의 增殖을 抑制하는 것으로 알려져 있다(Henry, 1976; Creasey等, 1976; Wilson等, 1976). 이러한 DNA에 對한 作用機轉以外에도 mitochondria 酸化나 microtubule 機能을 妨害함으로써 細胞增殖을 抑制하는 機轉도 細胞otoxicity에 重要한 要因의 하나라고 생각되어 진다(Dano, 1972; Bachur等, 1978; Dormandy, 1978; McCord等, 1978). Cisplatin은 풀라티늄 調整複合體(platinum coordination complexes)로써 일컬化 製劑와 비슷한 機轉에 依해 DNA의 破壞를 招來하여 細胞otoxicity를 나타내는 것으로 알려져 있다(Drewinko等, 1975; Munchausen等, 1975; Rosenberg, 1975; Rozencweig等, 1977). 5-FU는 非 vesicant의 刺激劑로 알려져 있는데 pyrimidine의 合成을 抑制함으로써 核酸의 合成과 機能障礙를 일으킴이 알려져 있다(Hrushesky, 1976; MacMillan等, 1978). Adriamycin 및 Cisplatin이 5-FU보다 甚し 甚한 壞死性 病變을 보인 것은 局所性 細胞otoxicity作用이 두 藥劑에 있어 5-FU보다 強하기 때문인 것으로 思料된다.

Barr等(1981)은 抗癌劑의 血管外 流出性 病變이 過敏性 反應에 依한 것이기 보다 直接의 抗癌劑의 細胞otoxicity에 起因함을 實驗의 으로 證明하였는데 다만 L-asparaginase만은 例外적으로 그 分子量이 커서 過敏性 反應에 依해 組織損傷을 誘發시킬 수 있다고 하였다. 本 實驗에서도 壞死性 病變은 甚한데도 不拘하고 血管의 炎症은 거의 觀察되지 않은 所見은 Barr의 見解와 一致되는 것으로 理解된다. 血管外 流出性 病變의 病理組織學的 所見에 對해 Barr等은 크게 3가지 類型으로 分類하였는데 炎症反應이나 肉芽組織 形成이 없는 凝固性 壞死型, 炎症反應은 있으나 肉芽組織 形成은 없는 單純炎症性 壞死型 및 肉芽組織 形成을 보이는 出血性 炎症型으로 나누어 Actinomycin D, Cytosine, Mechlorethamine等은 前者型, Adriamycin 및

投與群이 皮下投與群보다 더 显著하였다. 型에 屬한다고 하였다. 그러나 이들은 病理組織學的 所見을 너무單純화하였고 그 經時의 變化에 關한 觀察을 소홀히 한面이 없지 않다. 濫漫性의 壞死病變이 생기기 直前의 組織像은 光學顯微鏡의 으로는 認知하기 어려웠고 앞으로 電子顯微鏡이나 組織化學的方法에 依해 더追求되어야 할 課題라고 생각되어 진다.

抗癌剤에 依한 血管外 軟部組織 損傷은 非毒性 靜脈注射 物質에 依한 血管周圍 損傷과는 그 病理學的 所見이 根本의 으로 다르며(Gaze, 1978; Mukherjee等, 1977; Prystowsky等, 1976; Yosowitz等, 1975) 여러 가지 抗癌剤 投與時 發生할 수 있는 一般的 皮膚病變 즉 5-FU나 Mechlorethamine에 依한 炎症反應(Pariser等, 1976), Methotrexate나 Hydroxyurea의 長期投與時 나타날 수 있는 萎縮性病變(Kennedy等, 1975) 및 Actinomycin D나 Adriamycin 投與時 생길 수 있는 放射線 回想反應(radiation recall phenomenon)(Cohen等, 1975; Donaldson等, 1974; Etcubanas等, 1974; Haskell等, 1974), 等과도 區別되어야 한다. 더우기 抗癌剤의 靜脈注射時 血管外 流出이 나타날 수 있는 表在性 血管炎이나 局所性 皮膚發疹은 軟部組織의 壞死를 일으키지 않고 저절로 消失되는 病變으로서 流出性 病變과는 根本의 으로 다른 病變으로 理解되고 있다(Etcubanas等, 1974; Lippman等, 1972).

抗癌剤의 流出에 依한 軟部組織 損傷은 一般 外傷性 組織損傷보다 그 修復期間이 훨씬 遲延되는 것으로 알려져 있는데 아직 그 根本의 인 機轉에 關해서는 잘 밝혀져 있지 않다(Rudolph等, 1979). Jaenke(1974)는 Adriamycin의 心筋病變에 關한 電子顯微鏡的 觀察에서 Adriamycin에 依한 核의 直接的 損傷以外에 細胞內 收縮性 筋原纖維의 不規則像을 밝힘으로써 Adriamycin의 創傷의 修復機轉에도 障碍를 招來시킬 수 있음을 示唆하고 있다. Rudolph等(1979)은 Adriamycin이 心筋의 收縮性 筋原纖維에 損傷을 주는 것과 같은 機轉에 依해 軟部組織에서도 收縮性 纖維芽細胞에 損傷을 입힘으로써 組織修復이 遲延되는 것으로 생각하고 있다(Gabbiani等, 1972). Bowers(1978)와 Fujita等(1971)은 anthracycline系 抗癌剤는 殺細胞作用을 한뒤 局所의 再循環過程을 거쳐 周圍의 生存細胞를 다시 破壞시키며 藥剤가 完全히 不活性화 되거나 全身에 吸收될 때까지 作用할 수 있기 때문에 壞死의 期間이 길어진다고 說明하고 있다. Giri等(1975)은 白鼠에서 Actinomycin D에 依한 白血球 lysosome酵素 및 肥胖細胞內 히스타민 分泌促進을 밝혔으나 抗癌剤에 依한 炎症性 病變과의相互關係에 對해서는 疑問을 提起하

고 있다. 더우기 Vinblastine 같은 抗癌剤는 오히려 白血球 lysosome酵素 分泌를 抑制하는 것으로 알려져 있다(Zurier等, 1973). 本實驗에서도 一般 外傷性 組織損傷時 3~7日頃에 흔히 觀察되며지는(김, 1973) 纖維芽細胞의 增殖이나 肉芽組織 形成이 7日에 이르러서도 全히 보이지 않은 것을 볼 때 臨床의 組織修復遲延과 合當한 病理組織學的 所見으로 思料된다.

抗癌剤 流出性 病變에서 局所의 steroid投與나 sodium bicarbonate投與가 使用되며지고 있는 데(Rudolph等, 1976; Reilly等, 1977; Zweig等, 1978; Dragon等, 1979), 이 中에서 steroid의 組織損傷豫防效果에 對한 檢討에서 steroid投與는 肉眼의 으로 藥剤單獨投與部位와 큰 差異를 보이지 않았고 軟部組織損傷의 病理組織學的 所見에서도 壞死性 病變의 滙行을豫防하지는 못했으며, 다만 壞死의 程度와 그 周圍의 炎症反應을多少輕減시키는 效果만이 認定되었다.

以上의 抗癌剤의 血管外 軟部組織 損傷에 關한 病理組織學的 所見을 考察하여 볼 때 그 主된 病變은 凝固性壞死와 그에 隨伴되는 炎症性反應으로서 그 變化는 表皮에서 筋層에 이르기까지 廣範圍하게 나타났다. 이에 壞死性 病變은 血管變化에 依한 貧血性凝固壞死(ischemic coagulation necrosis)것이기 보다 抗癌剤의 直接의인 細胞毒性에 起因되는 것으로 생각되어 진다. 또한 損傷後 7日에 이르기까지 纖維芽細胞의 增殖이나 肉芽組織 形成이 全히 觀察되지 않는 點이 組織修復遲延과一致되는 所見으로 理解되었다. 그러나 이러한 濫漫性 壞死病變의 初期에 收縮性 纖維芽細胞 및 筋原纖維가 어떻게 障碍를 일으키며, 어떠한 過程을 通해 修復되어 지는지에 關해서는 앞으로 더追究되어야 할 것으로 생각된다.

結論

靜脈注入用 抗癌剤(Adriamycin, 5-FU, Cisplatin)의 血管外 軟部組織 注射에 依한 組織損傷의 特徵의인 病理組織學的 所見과 投與方法 및 藥剤相互間에 있어서의 損傷樣相을 比較하며, steroid의 損傷豫防效果를 檢討하고자 雄性 白鼠를 使用하여 光學顯微鏡的 檢索을 通해 다음의 結果를 얻었다.

- 軟部組織의 損傷이 肉眼의 으로 뚜렷하였던 抗癌剤는 Adriamycin과 Cisplatin으로서 24時間에 充血을, 3日에 注射部位의 分明한 境界와 色調의 變化를 나타냈고, 7일에는 上의 肉眼變化가 더욱 뚜렷하였다.
- 血管外 軟部組織 損傷의 程度는 Adriamycin 및 Cisplatin投與群이 5-FU投與群보다 더 強烈하고, 皮內

Daunomycin은 둘째형, Vincristine, BCNU等은 셋째

3. 壞死性 炎症病變은 抗癌剤 投與後 24時間에 始作 되어 3日에서 7日까지 進行性으로 뚜렷해지고, 損傷後 7日에 이르기까지 組織修復像은 觀察되지 않았다.

4. Steroid 同時投與는 藥劑單獨 投與보다 壞死의 程度와 壞死周圍의 炎症反應을 少少 較減시킨 뿐이었다.

5. 그러므로 抗癌剤의 血管外 流出性 病變은 軟部組織의 甚한 癡固壞死 및 周圍性 炎症所見을 特徵으로 하며 이러한 所見은 抗癌剤의 直接的 細胞otoxicity에 依한 것으로 보이며 外傷性 損傷時一般的으로 觀察되는 組織修復像인 纖維芽細胞의 增殖이나 新生肉芽組織 形成이 實驗一週日內에도 보이지 않음은 이 病變이 臨床의으로 難治性이니 遲延性 治癒病變이란는데에 一致되는 組織所見으로 理解되 있다.

—ABSTRACT—

Pathologic Study on Experimentally Induced Soft Tissue Injuries by Extravasated Anticancer Agents

Ja June Jang and Eui Keun Ham

Department of Pathology, College of Medicine,
Seoul National University

Necrosis of skin and subcutaneous tissue following inadvertent extravasation of cytotoxic drugs has been a serious complication of cancer chemotherapy. Since the pathogenesis of this lesion has not been explored in depth, the above disorder has proved to be notoriously difficult to treat.

The main objective of this study was to investigate basic histopathologic changes of tissue damage and to allow thereby the development of rational approaches to prevention and management.

A total of 90 male Sprague-Dawley rats weighing around 150 gms were divided into three groups for experiment. Each group was used of 30 animals, which were injected respectively 2mg/kg of Adriamycin, 33.3mg/kg of 5-FU and 3.5mg/kg of Cisplatin through intradermal and subcutaneous routes. Challenging injections of normal saline, anti-cancer agent with and without Dexamethasone were set consistently at three sites of the shaved dorsum of

trunk. Observations of skin and soft tissue injuries in the injection site were carried out by gross examination and light microscopy at 2, 6, 24 hours and 3, 7 days following the injection. The specimen from each injection site were taken and prepared for histopathologic investigation and then hematoxylin-eosin, acid orcein-Giemsa, Masson's trichrome and van Gieson stainings were applied.

The results and summary of the experiment were as follows:

1. The gross findings at the injection sites of normal saline and 5-FU were unremarkable changes, otherwise that of Adriamycin and Cisplatin were remarkable and developed distinct hyperemia at 24 hours, with good demarcation and central discoloration at 3 days through 7 days. In the injection site of anti-cancer agents, the morphologic difference between combining use with and without dexamethasone was not conspicuous.

2. In the microscopic findings, the injection sites of normal saline and 5-FU showed edema and mild inflammatory reaction of subcutis, otherwise that of Adriamycin and Cisplatin revealed extensive coagulative necrosis. In the soft tissue injuries, the intradermal injection group was more severe than the subcutaneous injection group.

3. The chronological histopathologic findings in the group of Adriamycin and Cisplatin injection exhibited mild edema and focal inflammatory reaction in the dermis and subcutis at 2~6 hours, focal necrosis in the epidermis and the muscle coat at 24 hours, extensive wide coagulative necrosis in the epidermis through the muscle coat at 3~7 days. But neither vasculties, fibroblastic proliferation nor granulation formation were observed until 7 days.

4. The injection of Dexamethasone could not prevent the progression of the necrotic inflammatory lesion, but only lessened the degree of necrosis and inflammatory response.

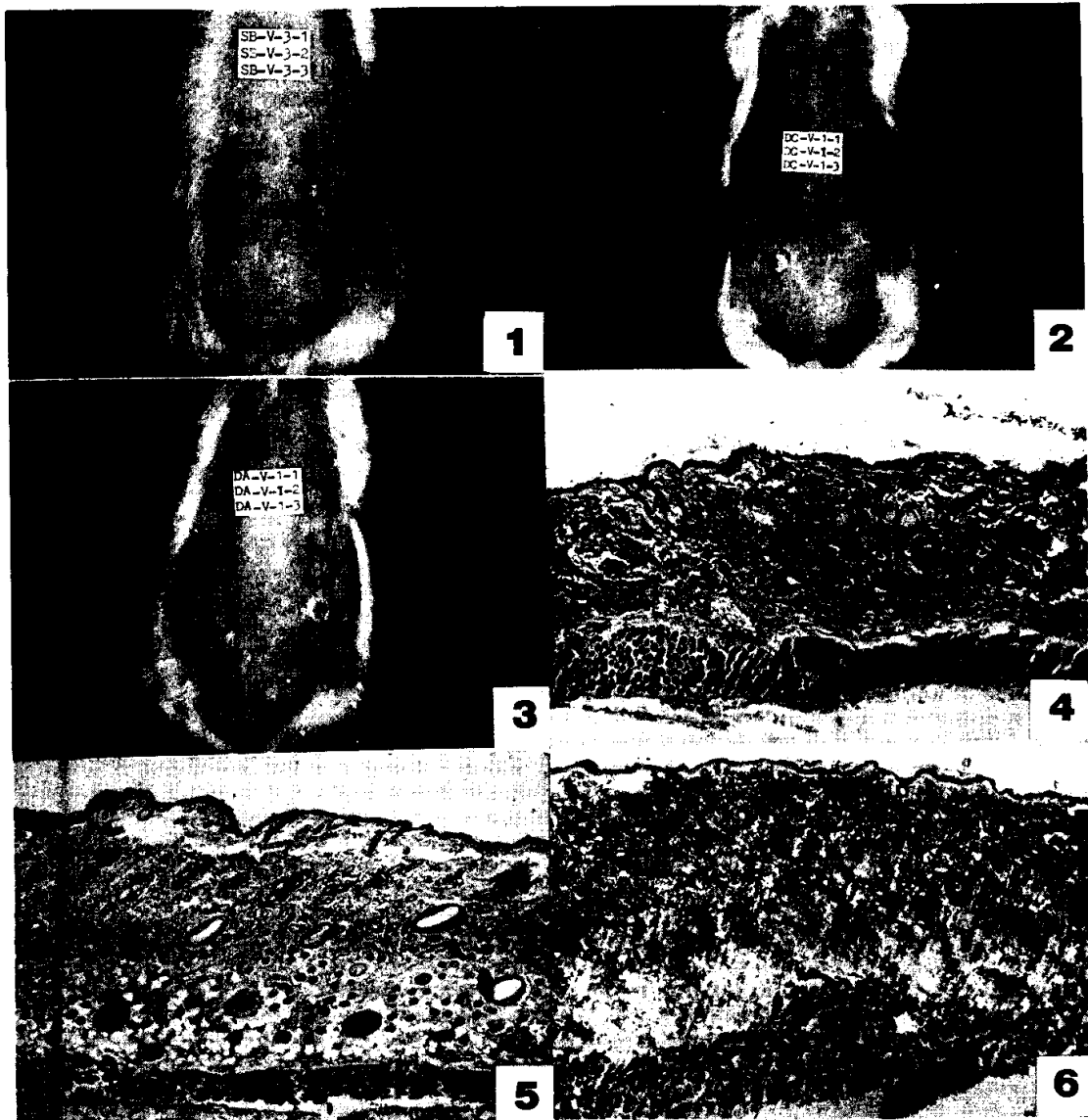
In summary, the main pathologic findings of soft tissue injuries induced by extravasation of anticancer agents were extensive coagulation necrosis and associated inflammatory response. The mechanism of necrosis was considered that of direct cytotoxicity. The main difference with general traumatic injury

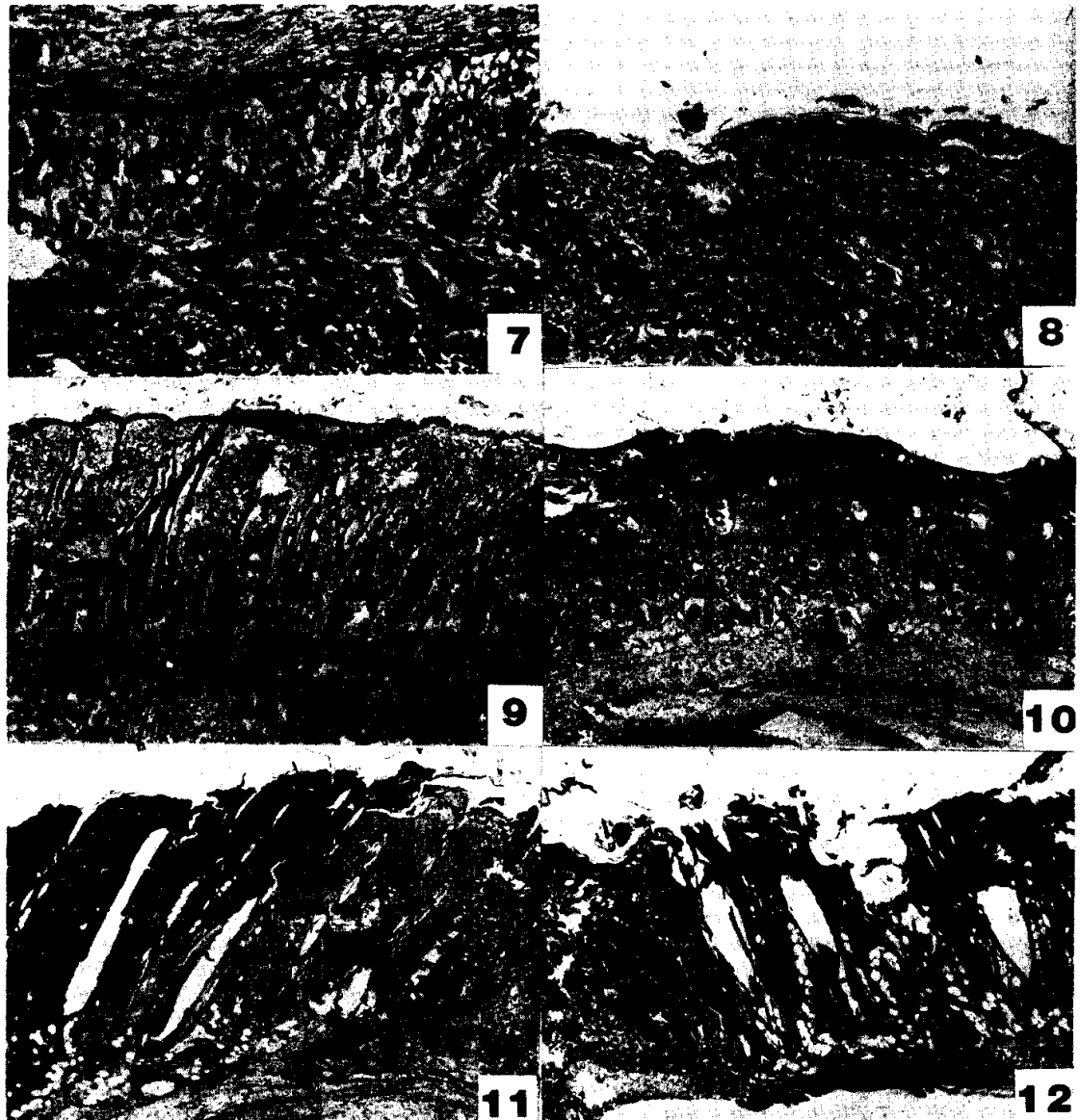
rested on lacking of fibroblastic proliferation and granulation formation until 7 days, which was compatible findings to prolonged healing. The effect of steroid was only approved reduction of the degree of necrosis and inflammatory reaction.

REFERENCES

- Bachur, W.R., Gordon, S.L. and Gee, M.V.: A general mechanism for microsomal activation of quinone anticancer agents to free radicals. *Cancer Res.*, 38: 1745-1750, 1978.
- Barr, R.D., Benton, S.G. and Belbeck, L.W.: Soft-tissue necrosis induced by extravasated cancer chemotherapeutic agents. *J. Nat. Cancer Inst.*, 66: 1129-1136, 1981.
- Bowers, D.G. and Lynch, J.B.: Adriamycin extravasation. *Plast. Reconstr. Surg.*, 61:86-92, 1978.
- Cohen, S.L., Dibella, N.J. and Michalak, J.C.: Recall injury from adriamycin. *Ann. Intern. Med.*, 83: 232, 1975.
- Creasey, W.A., McIntosh, L.S., and Brescia, T.: Clinical effects and pharmacokinetics of different dosage schedules of adriamycin. *Cancer Res.*, 36: 216-221, 1976.
- Dano, K.: Cross resistance between vinca alkaloids and anthracyclines in Ehrlich ascites tumor in vivo. *Cancer Chemother. Rep.*, 56:701-708, 1972.
- Donaldson, S.S., Glick, J.M. and Wilbur, J.R.: Adriamycin activating a recall phenomenon after radiation therapy. *Ann. Intern. Med.*, 81:407-408, 1974.
- Dormandy, T.L.: Free-radical oxidation and antioxidants. *Lancet*, i:647-650, 1978.
- Dragon, L.H. and Braine, H.G.: Necrosis of the hand after daunorubicin infusion distal to an arteriovenous fistula. *Ann. Intern. Med.*, 91:58-59, 1979.
- Drewinko, B. and Gottlieb, J.A.: Action of cis-dichlorodiammineplatinum (II) (NSC-119875) at the cellular level. *Cancer Chemother. Rep.*, 59:665-673, 1975.
- Etcubanas, E. and Wilbur, J.R.: Uncommon side effects of adriamycin. *Cancer Chemother. Rep.*, 58: 757-758, 1974.
- Fujita, H.: Comparative studies on the blood level, tissue distribution, excretion, and inactivation of anticancer drugs. *Jap. J. Clin. Oncol.*, 12:151-162, 1972.
- Gabbay, E.J., Gried, D. and Fingerle, R.E.: Interaction specificity of the anthracyclines with deoxyribonucleic acid. *Biochemistry*, 15:2062-2070, 1976.
- Gabbiani, G., Hirschel, B.J., Ryan, G.B., Statkov, P.R. and Majino, G.: Granulation tissue as a contractile organ. A study of structure and function. *J. Exp. Med.*, 135:719-734, 1972.
- Gaze, M.R.: Tissue necrosis caused by commonly used intravenous infusions. *Lancet*, ii:417-419, 1978.
- Giri, S.N., Joshi, B. and Peoples, S.A.: Mobilization of leukocytes and subsequent release of histamine and lysosomal enzymes into the peritoneal and pleural cavities of rats by actinomycin D(dactinomycin). *Clin. Exp. Pharmacol. Physiol.*, 2:193-202, 1975.
- Giri, S.N., Rice, S. and Bacchetti, P.: Characteristic features of actinomycin D induced paw inflammation of the rat. *Exp. Mol. Pathol.*, 23:367-378, 1975.
- Haskell, C.M., Silverstein, M.J., Rangel, D.M., Hunt, J.S., Sparks, F.C. and Morton, D.L.: Multimodality cancer therapy in man: A pilot study of adriamycin by arterial infusion. *Cancer*, 33:1485-1490, 1974.
- Henry, D.W.: Adriamycin. *Amer. Cancer Soc. Symposium Series*, 30:15-57, 1976.
- Hrushesky, W.J.: Serpentine supraventricular 5-fluorouracil(NSC-19893) hyperpigmentation. *Cancer Treat. Rep.*, 60:639, 1976.
- Ignoffo, R.J. and Friedman, M.A.: Therapy of local toxicities caused by extravasation of cancer chemotherapeutic drugs. *Cancer Treat. Rev.*, 7:17-27, 1980.
- Jaenke, R.S.: anthracycline antibiotic-induced cardiopathy in rabbits. *Lab. Invest.*, 30:292-304, 1974.
- Kennedy, B.J., Smith, L.R. and Goltz, R.W.: Skin changes secondary to hydroxyurea therapy. *Arch. Dermatol.*, 111:183-187, 1975.
- 김수남: 수종 화학물질이 창상 수복과정에 미치는 영향에 관한 실험적 연구. *대한피부과학회지*, 11:123-138, 1973.

- Lippman, M., Zager, R. and Henderson, E.S.: *High dose daunorubicin (NSC-83142) in the treatment of advanced acute myelogenous leukemia. Cancer Chemother. Rep.*, 56:755-760, 1972.
- MacMillan, W.E., Wolberg, W.H. and Welling, P.G.: *Pharmacokinetics of fluorouracil in humans. Cancer Res.*, 38:3479-3482, 1978.
- McCord, J.M. and Fridovich, I.: *The biology and pathology of oxygen radicals. Ann. Intern. Med.*, 89:122-127, 1978.
- Mukherjee, G.D. and Guharay, B.N.: *Digital gangrene and skin necrosis following extravasation of infusion fluids. J. Indian Med. Assoc.*, 68:77-79, 1977.
- Munchausen, L.L. and Rahn, R.O.: *Biologic and chemical effects of cis-dichlorodiammineplatinum(II) (NSC-119875) on DNA. Cancer Chemother. Rep.*, 59:643-646, 1975.
- Pariser, D.M., Childres, R.C., Kechijian, P., Halperin, K.M. and Taylor, J.R.: *Intravenous desensitization to mechlorethamine in patients with psoriasis. Arch. Dermatol.*, 112:1113-1114, 1976.
- Prystowsky, S.D., Volgelstein, B. and Ettinger, D.S.: *Invasive aspergillosis. N. Engl. J. Med.*, 295:655-658, 1976.
- Reilly, J.J., Neifeld, J.P. and Rosenberg, S.A.: *Clinical course and management of accidental adriamycin extravasation. Cancer*, 40:2053-2056, 1977.
- Rosenberg, B.: *Possible mechanisms for the antitumor activity of platinum coordination complexes. Cancer Chemother. Rep.*, 59:589-598, 1975.
- Rozencweig, M., von Hoff, D.D., Slavik, M. and Muggia, F.M.: *Cis-diamminedichloroplatinum(II). A New anticancer drug. Ann. Intern. Med.*, 86:803-812, 1977.
- Rudolph, R., Stein, R.S. and Pattillo, R.A.: *Skin ulcers due to adriamycin. Cancer*, 38:1087-1094, 1976.
- Rudolph, R.: *Ulcers of the hand and wrist caused by doxorubicin hydrochloride. Orthop. Rev.*, 7:93-97, 1978.
- Rudolph, R., Suzuki, M. and Luce, J.K.: *Experimental skin necrosis produced by adriamycin. Cancer Treat. Rep.*, 63:529-537, 1979.
- Tan, C., Etcubanas, E., Wollner, N., Rosen, G., Gilladoga, A. and Showel, J.: *Adriamycin-an antitumor antibiotic in the treatment of neoplastic diseases. Cancer*, 32:9-17, 1973.
- Teloh, H.A., Mason, M.L. and Wheelock, M.L.: *Histopathologic study of radiation injuries of the skin. Surg. Gynecol. Obstet.*, 90:335-348, 1950.
- Wang, J.J., Cortes, E., Sinks, L.F. and Holland, J.F.: *Therapeutic effect and toxicity of adriamycin in patients with neoplastic disease. Cancer*, 28:837-843, 1971.
- Wilson, D.W., Grier, D. and Reimer, R.: *Structure activity relationship of daunorubicin and its peptide derivatives. J. Med. Chem.*, 19:381-384, 1976.
- Yosowitz, P., Ekland, D.A., Shaw, R.O. and Parsons, R.W.: *Peripheral intravenous infiltration necrosis. Ann. Surg.*, 182:553-556, 1975.
- Zurier, R.B., Hoffstein, S. and Weissman, G.: *Mechanisms of lysosomal enzyme release from human leukocytes. I. Effect of cyclic nucleotides and colchicine. J. Cell Biol.*, 58:27-41, 1973.
- Zweig, J.I. and Kabakow, B.: *An apparently effective countermeasures for doxorubicin extravasation J. Amer. Med. Asso.*, 239:2116, 1978.





LEGENDS FOR FIGURES

- Fig.** 1. Gross manifestation in the group of 5-FU injection (the 7th experimental day), showing no apparent findings.
Injection site: S, normal saline; F, 5-FU; FD, 5-FU+Dexamethasone.
- Fig.** 2. Gross manifestation in the group of Cisplatin injection (the 7th experimental day), showing distinct demarcation with discoloration around the injection site (C & CD).
Injection site: S, normal saline; C, Cisplatin; CD, Cisplatin+Dexamethasone.
- Fig.** 3. Gross manifestation in the group of Adriamycin injection (the 7th experimental day), showing good demarcation with central discoloration around the injection site (A & AD).
Injection site: S, normal saline; A, Adriamycin; AD, Adriamycin+Dexamethasone.
- Fig.** 4. Skin and subcutis in control group (injection of normal saline) H & E, $\times 25$.
- Fig.** 5. Skin and subcutis showing no remarkable changes (injection of 5-FU in the 3rd experimental day) H & E, $\times 25$.
- Fig.** 6. Edema of subcutis (injection of Adriamycin in the 6th experimental hour) H & E, $\times 25$.
- Fig.** 7. Diffuse inflammatory cell infiltration in subcutis through muscle and fascia (injection of Adriamycin in the 3rd experimental day) H & E, $\times 63$.
- Fig.** 8. Early degenerative change of epidermis (injection of Cisplatin in the 6th experimental hour) H & E, $\times 63$.
- Fig.** 9. Focal coagulative necrosis and marginal neutrophilic collection in epidermis (injection of Adriamycin combined with Dexamethasone in the 24th experimental hour) H & E, $\times 25$.
- Fig.** 10. Patchy necrotic lesion in epidermis, dermis and muscle layer (injection of Adriamycin in the 24th experimental hour) H&E, $\times 25$.
- Fig.** 11. Extensive necrotic lesion in epidermis through muscle and fascia (injection of Cisplatin in the 3rd experimental day) H & E, $\times 25$.
- Fig.** 12. Epithelial hyperplasia in epidermis adjacent to the necrotic lesion (injection of Cisplatin in the 7th experimental day) H & E, $\times 25$.